

## 반응성 화학기상증착법을 이용한 에피택셜 $\text{CoSi}_2$ 박막의 형성 및 성장에 관한 연구

이화성 · 이희승 · 안병태

한국과학기술원 재료공학과

### Formation and Growth of Epitaxial $\text{CoSi}_2$ Layer by Reactive Chemical Vapor Deposition

Hwa Sung Rhee, Heui Seung Lee, and Byung Tae Ahn

Department of Materials Science and Engineering, Korea Advanced Institute of Science and Technology,  
373-1 Koo Sung-dong, Yusung-gu, Taejon 305-701

(2000년 6월 24일 받음, 2000년 9월 2일 최종수정본 받음)

**초록** 사이클로펜타디에닐 디카보닐 코발트( $\text{Co}(\eta^5\text{-C}_5\text{H}_5)(\text{CO})_2$ )의 반응성 화학 기상 증착법에 의해  $600^\circ\text{C}$  근처의 기판온도에서 (100) Si 기판 위에 균일한 에피택셜  $\text{CoSi}_2$  층이 후열처리를 거치지 않고 직접 성장되었다. (100) Si 기판 위에서 에피택셜  $\text{CoSi}_2$  층의 성장 속도론을  $575^\circ\text{C}$ 에서  $650^\circ\text{C}$ 의 온도 구간에서 조사하였다. 증착 초기 단계에서 판(plate) 모양의  $\text{CoSi}_2$  스파이크가 상정의 구조를 가지고 (100) Si 기판에서  $<111>$  방향을 따라서 불연속적으로 핵생성되었다. {111}과 (100)면을 가진 불연속의  $\text{CoSi}_2$  판은 (100) Si 위에서 평평한 계면으로 이루어진 에피택셜 층으로 성장했다. (100) Si 위에서 에피택셜  $\text{CoSi}_2$  성장에 대하여 포물선 성장 구간의 활성화 에너지는  $2.82\text{eV}$ 인 것으로 나타났으며, 이 구간의 성장 속도는  $\text{CoSi}_2$  층을 통한 Co의 확산에 의해 제어되는 것으로 나타났다.

**Abstract** Uniform epitaxial  $\text{CoSi}_2$  layers have been grown in situ on a (100) Si substrate at temperatures near  $600^\circ\text{C}$  by reactive chemical vapor deposition of cyclopentadienyl dicarbonyl cobalt,  $\text{Co}(\eta^5\text{-C}_5\text{H}_5)(\text{CO})_2$ . The growth kinetics of an epitaxial  $\text{CoSi}_2$  layer on a Si (100) substrate was investigated at temperatures ranging from  $575$  to  $650^\circ\text{C}$ . In initial deposition stage, plate-like discrete  $\text{CoSi}_2$  spikes were nucleated along the  $<111>$  directions in (100) Si substrate with a twinned structure. The discrete  $\text{CoSi}_2$  plates with both {111} and (100) planes grew into an epitaxial layer with a flat interface on (100) Si. For epitaxial  $\text{CoSi}_2$  growth on (100) Si, the activation energy of the parabolic growth was found to be  $2.82\text{ eV}$ . The growth rate seems to be controlled by the diffusion of Co through the  $\text{CoSi}_2$  layer.

**Key words:** Cobalt Silicide, Reactive CVD, Epitaxial Growth, Growth Kinetics

## 1. 서 론

반도체 소자의 크기가 deep submicron level로 작아짐에 따라 코발트 실리사이드( $\text{CoSi}_2$ )는 낮은 비저항과 선폭에 무관한 면저항 때문에 크게 주목받고 있다. Si (100) 기판 위에 에피택셜로 성장한  $\text{CoSi}_2$  층은 그것의 우수한 열적 안정성, 낮은 접합 누설전류, 그리고 silicide-as-doping-source 공정을 이용한 아주 얇은 접합 형성 때문에 특별한 흥미를 준다.<sup>1)</sup>

Si에 대한 작은 격자 불일치(-1.2%)와 입방정  $\text{CaF}_2$  구조에 의해  $\text{CoSi}_2$ 는 막의 두께가 임계 두께를 초과하지 않는다면 Si 기판 위에 에피택셜로 성장될 수 있다.  $\text{CoSi}_2$ 와 Si의 가능성 있는 구조적 일치에도 불구하고, (100) Si 기판 위에서 에피택셜  $\text{CoSi}_2$  층의 성장은 방향이 맞지 않는 결정립의 강한 성장 경향 때문에 성공적으로 이루어지지 않았다.<sup>2)</sup> 그래서 interlayer mediated epitaxy, molecular beam epitaxy, ion beam synthesis, 그리고 reactive deposition epitaxy와 같은 특별한 성장 기술이  $\text{CoSi}_2$ /Si heteroepitaxy 구조를 형성하기 위해 적용되었다.<sup>2~4)</sup>

Ohmic contact, 낮은 비저항 게이트, 그리고 local buried interconnection과 같은 초미세 반도체 소자에서의 응용을 위하여 Si (100) 기판 위에서 에피택셜  $\text{CoSi}_2$ 의 성장 속도론이 연구될 필요가 있다.

본 연구에서는 유기금속 화합물 코발트 소오스인 사이클로펜타디에닐 디카보닐 코발트( $\text{Co}(\eta^5\text{-C}_5\text{H}_5)(\text{CO})_2$ )를 이용하여 반응성 화학 기상 증착법(reactive chemical vapor deposition)에 의해 (100) Si 기판 위에 에피택셜  $\text{CoSi}_2$  층을 직접 성장시키는 방법을 실험하였다. 이 때 에피택셜  $\text{CoSi}_2$  층의 직접 형성을 위해 화학 기상 반응기에서 기판 온도를  $600^\circ\text{C}$  근처의 온도로 가열하였으며 bubbler 온도와 운반 가스 유속의 조절에 의해 코발트 소오스의 유속을 조절하였다. 또한, 반응성 화학 기상 증착법에 의해 (100) Si 기판 위에서 성장한 에피택셜  $\text{CoSi}_2$  층의 성장 거동과 속도론이  $575^\circ\text{C}$  ~  $650^\circ\text{C}$ 의 온도 구간에서 조사되었다.

## 2. 실험 방법

5 ~  $8\Omega \cdot \text{cm}$ 의 비저항을 가진 p-type, (100) Si 기판을

$\text{H}_2\text{SO}_4/\text{H}_2\text{O}_2$  용액에서 끓이면서 세정한 후 deionized water(DI water)로 씻어냈다. 그리고 50:1 HF 용액에 담가서 자연 산화막을 제거하고 DI water로 씻어낸 후 질소 가스를 불어서 말린 후 바로 유기금속 화학 기상 증착 반응기에 집어 넣었다. Bubbler의 온도는 증기압을 낮추기 위해  $-5^\circ\text{C}$ 로 유지되었으며, 이것은 에피택셜  $\text{CoSi}_2$ 가 형성될 수 있도록 기판으로 공급되는 Co의 양을 일정하게 조절하는 역할을 한다. Co는  $\text{Co}(\eta^5-\text{C}_5\text{H}_5)(\text{CO})_2$  source를 이용하여  $575^\circ\text{C} \sim 650^\circ\text{C}$ 의 온도범위로 가열된 Si 기판에 공급되었으며 이때 운반 가스인  $\text{H}_2$ 의 유속은 10sccm이었으며 반응기 압력은 110mTorr로 유지되었다.

막의 결정구조와 미시구조는 X선 회절(XRD)과 투과 전자 현미경(TEM)을 사용하여 관찰하였으며, 막의 조성은 Auger electron spectroscopy(AES)에 의해 분석되었다. 에피택셜  $\text{CoSi}_2$ 의 두께는 측정된 면적항 값으로부터 계산되었으며 이때 사용한 비저항 값은 투과 전자 현미경에서 측정한 두께로부터 얻어졌다. 막의 면적항은 4-point probe 방법을 통해 측정하였다.

### 3. 결과 및 고찰

그림 1은 (100) Si 기판에  $\text{Co}(\eta^5-\text{C}_5\text{H}_5)(\text{CO})_2$  전구체를 이용하여  $550 \sim 650^\circ\text{C}$ 의 기판 온도에서 10분 동안 증착한 시편의 X선 회절 패턴을 나타낸다. 기판 온도가  $550^\circ\text{C}$ 를 초과할 때까지는 Co와 Si간의 화합물에 관련된 어떤 peak도 관찰되지 않아 어떤 반응도 일어나지 않았다는 것을 보여준다.  $600^\circ\text{C}$  위에서  $\text{CoSi}_2(200)$ 과  $\text{Si}(200)$  peak 만이 존재하고 다른 peak는 존재하지 않았으며  $650^\circ\text{C}$ 에서의  $\text{CoSi}_2(200)$  peak intensity는  $600^\circ\text{C}$  경우보다도 강하다는 것을 보여준다. 이것으로부터 기판 온도를 증가시킴에 따라  $\text{Co}_2\text{Si}$ 와  $\text{CoSi}$ 와 같은 Co-rich phase로부터의 상변태를 거치지 않고 (100) Si 기판에 강한 우선배향성을 가진 (100)  $\text{CoSi}_2$  층이  $\text{Co}(\eta^5-\text{C}_5\text{H}_5)(\text{CO})_2$ 의 화학 기상 증착법에 의해 직접 형성될 수 있다는 것을 알 수 있다. 본 방법과 같이 기판 온도를 충분히 높여 후열처리 공정 없이 기판 위에 직접  $\text{CoSi}_2$  층을 형성시키는 방법을 반응성 화학 기상 증착법(reactive chemical vapor deposition)이라 명명하기로 한다.

그림 2는  $650^\circ\text{C}$ 의 기판 온도에서 화학 기상 증착법에 의해 각각 2.5분, 15분 증착한 시편의 AES depth profile을 보여준다. 그림 2(a)로부터 반응 초기 단계에 Co는  $\text{CoSi}_2$ 의 조성 아래에 있는 Co 농도를 가지고 Si 기판으로 확산하며 탄소가 표면에 쌓인다는 것을 관찰할 수 있다. 표면에서 탄소가 쌓이는 현상은 불안정한 cyclopentadienyl radical을 가진  $\text{Co}(\eta^5-\text{C}_5\text{H}_5)(\text{CO})_2$ 의 불완전한 분해와 Si 기판으로 Co의 확산에 기인한다.<sup>5)</sup> 그림 2(b)는 충분한 증착 시간 후에 Si 기판 위에 두 개의 구분되는 층이 형성된다는 것을 보여준다. 맨 위층은 C, Co와 Si으로 구성된 탄소층이며 그 밑층은 stoichiometry를 만족시키는  $\text{CoSi}_2$  층이다.

이렇게 반응성 화학 기상 증착법에 의해  $650^\circ\text{C}$ 에서 30분 동안 성장시킨 시편의 단면 투과 전자 현미경 사진을 그

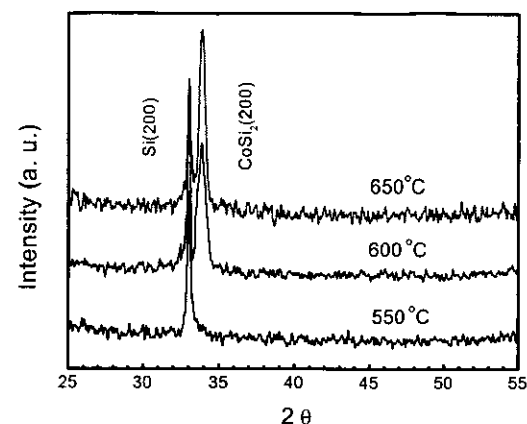


Fig. 1. XRD patterns of the samples as-deposited at 550, 600,  $650^\circ\text{C}$  for 10min from  $\text{Co}(\text{C}_5\text{H}_5)(\text{CO})_2$ .

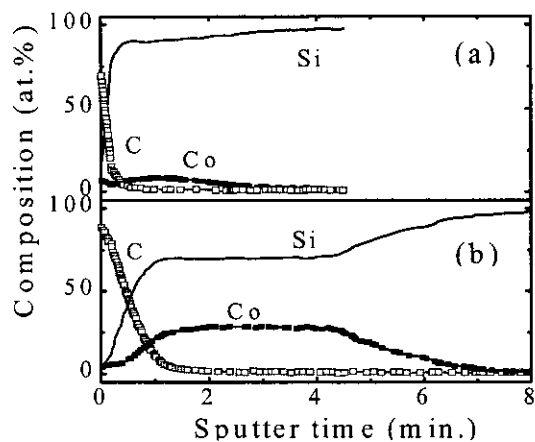


Fig. 2. AES depth profiles of the samples as-deposited at  $650^\circ\text{C}$  for (a) 2.5 and (b) 15min from  $\text{Co}(\text{C}_5\text{H}_5)(\text{CO})_2$ .

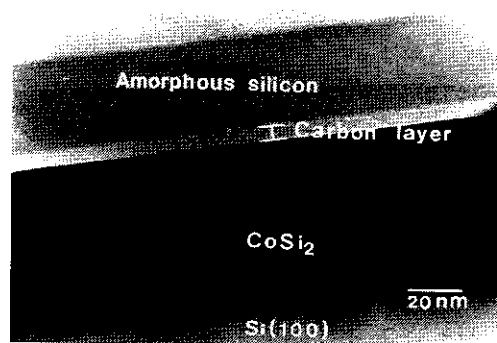


Fig. 3. XTEM micrographs of the sample as-grown at  $650^\circ\text{C}$  for 30 min with an amorphous Si capping layer.

림 3에 나타내었다. 본 방법에 의한  $\text{CoSi}_2$  형성에서는 유기 금속 화합물 source를 사용하기 때문에  $\text{CoSi}_2$  층 위에 얹은 탄소층이 존재하게 되며 이 탄소층의 두께를 측정하기 위해  $\text{CoSi}_2$ 의 에피택셜 성장 후에 Ar으로 희석된  $\text{SiH}_4$  가스를 가지고 PECVD(plasma enhanced CVD)법에 의해 비정질 실리콘 층을 증착하였다. 단면 투과 전자 현미경 시편을 준비하기 위한 에폭시층과 탄소층은 모두 비정질 탄소

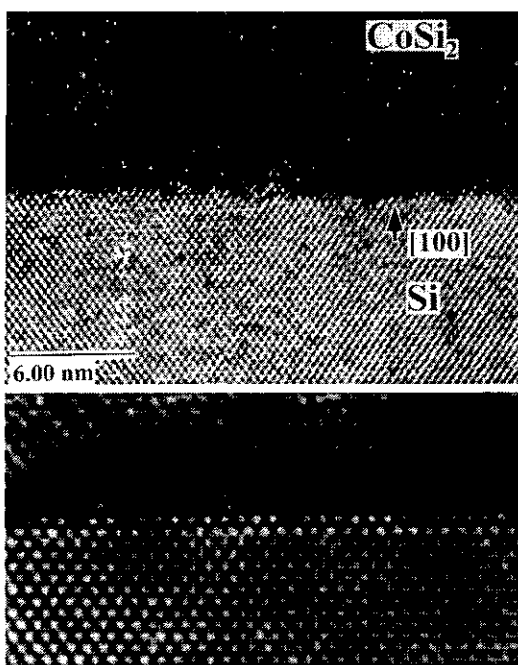


Fig. 4. HRTEM micrograph along the  $<011>$  zone axis taken to investigate the coherency of CoSi<sub>2</sub> and Si layers grown at 650 °C for 15min by RCVDE.

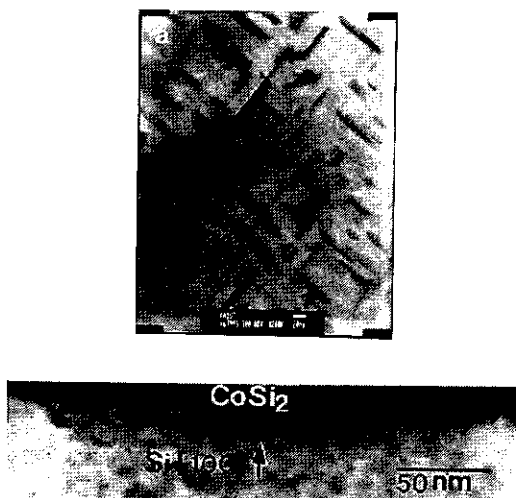


Fig. 5. (a) Plan-view TEM image and (b) cross-sectional TEM image of the sample grown at 650°C for 5 min deposition.

이므로 단면 투과 전자 현미경 사진에서 이 두층 사이의 contrast 차이는 거의 존재하지 않는다. 6.2nm 두께의 탄소층은 에피택셜 CoSi<sub>2</sub> 층의 약 1/10 두께를 가지는 것을 알 수 있다.

반응성 화학기상증착법에 의해 650°C에서 15분 동안 성장한 CoSi<sub>2</sub> 층의 Si 기판과의 coherency를 살펴보기 위하여 고분해능 투과전자현미경(HRTEM) 분석을 행하였고 사진을 그림 4에 나타내었다. 계면을 가로질러 격자의 완전한 일치를 볼 수 있으며 CoSi<sub>2</sub> 층이 Si 기판과 완전히 coherent하다는 것을 보여준다. 그러므로 그림 1과 그림 4의 결과로부터 Co( $\eta^5\text{-C}_5\text{H}_5$ )<sub>2</sub>(CO)<sub>2</sub> 소오스를 사용하여 반응성

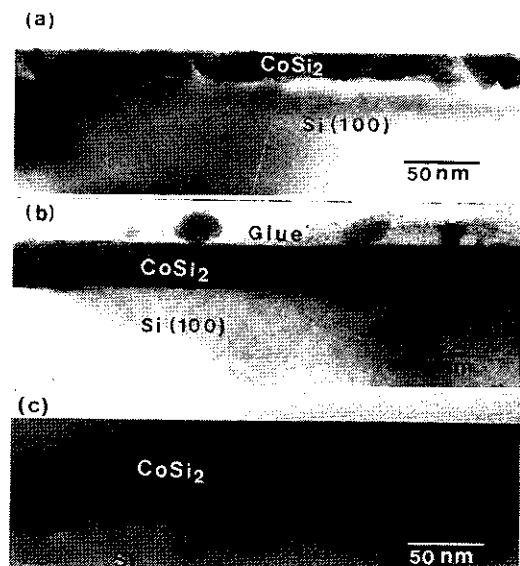


Fig. 6. XTEM micrographs of the samples after reactive deposition at 650°C for (a) 10 min, (b) 15 min, and (c) 40 min.

화학 기상 증착법에 의해 CoSi<sub>2</sub> 층이 (100) Si 기판 위에 에피택셜하게 성장되었다는 것을 알 수 있다.

(100) Si 기판에서 에피택셜 CoSi<sub>2</sub>의 성장거동을 관찰하기 위하여 초기 증착 단계에서 CoSi<sub>2</sub> 층이 평면과 단면 투과 전자 현미경 관찰을 이용하여 조사되었다. 그림 5(a)는 650°C에서 5분 동안 증착한 시편을 <100> 정대축 (zone axis)으로 하여 찍은 평면 투과 전자 현미경 사진을 보여준다. 이차원의 길게 늘어진 CoSi<sub>2</sub> island들이 형성되고 기판의 <011> 방향들에 수직하게 배열된다. 그들의 모양은 좀 더 막대 같거나 평판 같아서 자유표면의 거칠기를 증가시키게 된다. CoSi<sub>2</sub> 핵은 두개의 다른 방향을 가지고 대략 50~100nm의 긴 막대로 성장한다. Scheuch 등은 초기에 아주 낮은 두께의 Co가 덮여 있을 때 이차원적으로 길게 늘어진 CoSi<sub>2</sub> island들이 <011> 방향들에 수직하게 배열되어 형성된다는 것을 in-situ scanning tunneling microscopy에 의해 발견했다.<sup>6)</sup> 이것은 그림 5(a)의 결과와 잘 일치한다. 그림 5(b)는 650°C에서 5분 동안 증착한 시편의 단면 투과 전자 현미경 사진을 나타낸다. 판모양의 CoSi<sub>2</sub> 스파이크들이 (100) Si 기판 위에서 같은 {111} 계면들을 따라서 자라난다.

그림 6의 단면 투과 전자 현미경 사진은 650°C에서 10분 (a), 15분 (b), 그리고 40분 (c) 동안 증착한 시편의 에피택셜 CoSi<sub>2</sub> 층을 보여준다. CoSi<sub>2</sub> 스파이크들은 {111}과 {100} 면의 계면을 가지고 불연속의 CoSi<sub>2</sub>로 성장하여 표면 근처에서는 CoSi<sub>2</sub> 스파이크들이 맞닿게 되며 [그림 6(a)] 이 때 에피택셜 CoSi<sub>2</sub> 층의 면적은 연속적인 층의 형성에 의해 빠르게 감소한다. 증착시간을 더 증가시켰을 때 Si (100) 기판 위에서 평평한 (100) 계면을 가지고 균일한 에피택셜 층이 형성되었고 이 때는 포물선 성장 관계의 결과를 나타낸다.<sup>7)</sup> 그림 6(c)의 단면 투과 전자 현미경 사진은 계면에 작은 {111} facet이 존재하면서 약 70nm의 두께

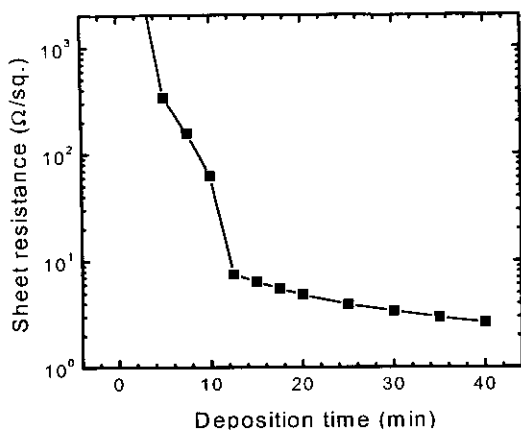


Fig. 7. Electrical sheet resistance of the CoSi<sub>2</sub> films measured after deposition at 650°C for different times.

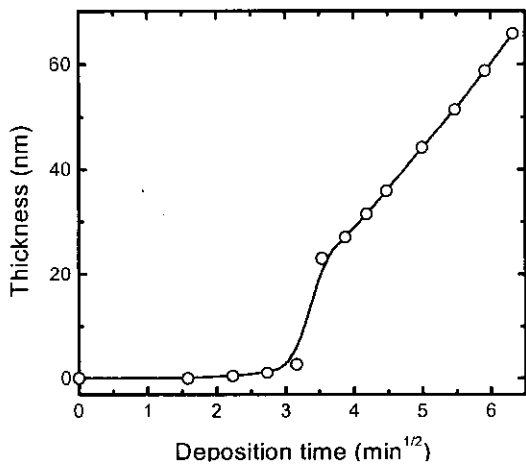


Fig. 8. Thickness of the epitaxial CoSi<sub>2</sub> layers calculated from the sheet resistance of the films as a function of deposition time.

를 가지는 균일한 에피택셜 CoSi<sub>2</sub> 층을 나타낸다. 초기 단계에서 판모양의 CoSi<sub>2</sub> 핵은 성장동안에 큰 계면거칠기를 유발하고 10nm 두께보다 더 작은 아주 얇은 균일한 층의 형성을 방해한다.

그림 7은 650°C의 기판 온도에서 여러 가지 다른 시간 동안의 증착 후에 측정된 막의 면적률을 나타낸다. 막의 비저항  $\rho$ 와 면적률  $R_s$ 는 다음식에 의해 나타내어진다.

$$R_s = \frac{\rho}{d}$$

여기서  $d$ 는 박막의 두께이다.

CoSi<sub>2</sub>는 모든 실리사이드 중에서 가장 낮은 비저항 값을 가지는 것으로 알려져 있다. 즉 에피택셜 층은 약 10  $\mu\Omega \cdot \text{cm}$ , 다결정 막은 15~18  $\mu\Omega \cdot \text{cm}$ 의 비저항 값을 가진다. 그러나 Hirano 등과 Hensel 등은 단결정 CoSi<sub>2</sub>의 비저항이 높은 잔류 비저항 (residual resistivity)에 의해 상온에서 각각 17.2와 15  $\mu\Omega \cdot \text{cm}$ 로 측정되었다고 보고했다.<sup>8,9)</sup> 높은 잔류 비저항은 에피택셜 CoSi<sub>2</sub> 층의 형성 과정에서 생겨난 결함들에 관련된 intrinsic disorder의 존재에 기인한

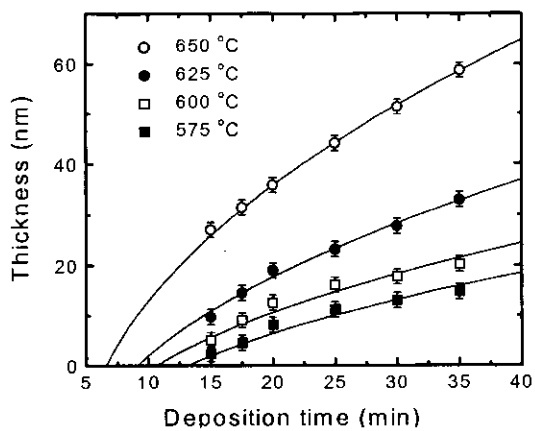


Fig. 9. Epitaxial CoSi<sub>2</sub> thickness as a function of deposition time at temperatures ranging from 575 to 650°C.

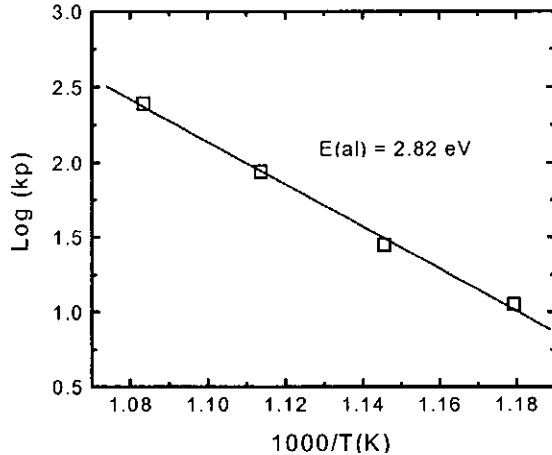


Fig. 10. Arrhenius plot of the parabolic rate constants,  $k_p$ .

다. CoSi<sub>2</sub> 층의 두께가 15분, 30분, 40분 동안 증착한 시편들에 대해 단면 투과 전자 현미경 사진으로부터 측정되었다. 이 때 에피택셜 CoSi<sub>2</sub> 층의 비저항은 면적률과 층의 두께로부터  $17.3 \pm 0.1 \mu\Omega \cdot \text{cm}$ 로 보정되었으며 이는 Hirano 등의 결과와 잘 일치한다.

그림 8은 CoSi<sub>2</sub> 층이 균일한 두께를 가지고 있고 17.3  $\mu\Omega \cdot \text{cm}$ 의 똑같은 비저항을 가진다고 가정했을 때, 막의 면적률에 의해 계산된 CoSi<sub>2</sub> 층의 두께를 증착 시간의 함수로 나타낸 것이다. 계산된 데이터는 증착시간의 제곱근에 대하여 나타냈는데 그림 8에서 보면 두 영역이 존재한다는 것을 알 수 있다. 초기의 잠복기 또는 핵생성기에서 CoSi<sub>2</sub> 두께는 증착시간이 증가함에 따라 빠르게 증가하지 않는다. 초기의 잠복기 후에 데이터는 직선에 잘 일치하며 에피택셜 CoSi<sub>2</sub> 층의 두께와 증착 시간 사이의 포물선 성장 (parabolic growth) 관계를 보여준다.

그림 9는 575°C~650°C 범위의 온도에서 증착시간의 함수로써 에피택셜 CoSi<sub>2</sub> 층의 두께를 나타낸다. 이 데이터들로부터 parabolic rate constant를 얻기 위하여 Deal과 Grove가 이용한 기본적인 속도 방정식과 기구를 채택하였다.<sup>10)</sup> 속도 방정식은 다음과 같다.

$$\frac{x^2}{k_p} + \frac{x}{k_L} = t + \tau$$

여기서,  $x$ 는  $\text{CoSi}_2$  두께이며,  $t$ 는 증착 시간,  $k_p$ 와  $k_L$ 은 parabolic rate constant와 linear rate constant, 그리고  $\tau$ 는 시간 상수이다. 에피택셜  $\text{CoSi}_2$  핵의 생성과 성장에 의한 초기 침복기는 기판 온도를 증가시킴에 따라 급격히 감소한다.

그림 10은 잘 맞추어진 파라미터들로부터 얻어진 parabolic rate constant,  $k_p$ 의 Arrhenius plot을 보여준다. plot은 잘 맞는 직선으로 나타나며 기울기로부터 얻어진 활성화 에너지는 2.82eV이다. 에피택셜  $\text{CoSi}_2$  층의 성장에 대한 2.82eV의 활성화 에너지는 보고된 값인 2.6~2.9eV와 거의 일치한다.<sup>11,12)</sup>  $\text{CoSi}_2$ 에 대하여 격자내에서 Co의 확산계수는  $0.15\exp(-2.78/kT)$ 로 보고되었다.<sup>13)</sup> 그러므로 2.82eV의 활성화 에너지로부터  $\text{CoSi}_2$ 의 에피택셜 성장이  $\text{CoSi}_2$  막내에서 Co의 확산에 의해 제어되는 공정이라는 것을 알 수 있다.

#### 4. 결 론

본 연구에서는 Si 기판 온도를  $\text{CoSi}_2$ 가 형성될 수 있는 정도로 올린 상태에서  $(\text{Co}(\eta^5-\text{C}_5\text{H}_5)(\text{CO})_2)$  source를 이용하여 후열처리 공정 없이 직접  $\text{CoSi}_2$ 를 형성시키는 실험을 행하였으며 이 때의 성장 거동을 관찰하여 다음과 같은 결론을 얻었다.

- 1)  $\text{Co}(\eta^5-\text{C}_5\text{H}_5)(\text{CO})_2$ 의 반응성 화학 기상 증착에 의해 좋은 질을 가진 균일한 두께의 에피택셜  $\text{CoSi}_2$  층이 성장되었다.
- 2) 증착 초기 단계에서 판모양의  $\text{CoSi}_2$  스파이크가 <111> 방향을 따라서 성장되었다.
- 3) 증착 시간이 증가함에 따라 균일한 두께를 가진 에피택셜  $\text{CoSi}_2$  층이 형성되었다.
- 4) 균일한  $\text{CoSi}_2$  층이 형성된 후에  $\text{CoSi}_2$  층은 시간에 따라 포물선 관계를 가지고 성장했다.
- 5)  $\text{CoSi}_2$  층을 통한 Co의 확산이 포물선 성장 구간에 대

한 속도 제어 단계로 나타났다.

#### 감사의 글

본 연구는 1998년도 한국학술진흥재단의 연구비에 의해 지원되었으며 이에 감사드립니다.

#### 참 고 문 헌

1. K. Maex, Mater. Sci. Eng., R. **11**, 53 (1993).
2. A. E. White, K. T. Short, R. C. Dynes, J. P. Gorno, and J. M. Gibson, Appl. Phys. Lett. **50**, 95 (1987).
3. A. H. Reader, J. P. W. B. Duchateau, and J. E. Crombeen, Semicond. Sci. Technol. **8**, 1204 (1993).
4. M. L. A. Dass, D. B. Fraser, and C. S. Wei, Appl. Phys. Lett. **58**, 1308 (1991).
5. H. S. Rhee and B. T. Ahn, Appl. Phys. Lett. **74**, 3176 (1999).
6. V. Scheuch, B. Boigtlander, and H. P. Bonzel, Surf. Sci. **372**, 71 (1996).
7. H. S. Rhee, B. T. Ahn, and D. K. Sohn, J. Appl. Phys. **86**, 3452 (1999).
8. T. Hirano and M. Kaise, J. Appl. Phys. **68**, 627 (1990).
9. J. C. Hensel, R. T. Tung, J. M. Poate, and F. C. Unterwald, Appl. Phys. Lett. **44**, 913 (1984).
10. B. E. Deal and A. S. Grove, J. Appl. Phys. **36**, 3770 (1965).
11. A. Appelbaum, R. V. Knoell, and S. P. Murarka, J. Appl. Phys. **57**, 1880 (1985).
12. E. G. Colgan and F. M. d'Heurle, J. Appl. Phys. **79**, 4807 (1996).
13. T. Barge, P. Gas, and F. M. d'Heurle, J. Mater. Res. **10**, 1134 (1995).